

## СПЕКТР СУПЕРСИММЕТРИЧНОГО ЗВУКА

B.V.Лебедев, A.B.Смилга<sup>1)</sup>

Показано, что скорость распространения фонино вычисляется чисто феноменологически и равна  $c = P/E$ . В рамках модели Весса – Зумино в результате решения уравнения Бете–Салпитера найден закон дисперсии фонино и область его существования.

Суперсимметричные полевые модели при ненулевой температуре исследуются с начала восьмидесятых годов<sup>1–4</sup>. Физика, описываемая этими моделями, должна была реализовываться в ранней Вселенной, в настоящее время считается, что при температурах  $T > 1$  ТэВ суперсимметрия в том или ином виде имела место.

Инвариантным относительно суперпреобразований считается действие, описывающее систему. В то же время при ненулевой температуре состояние системы не инвариантно относительно суперпреобразований. Это следует уже из того, что бозоны и фермионы имеют разную статистику, то есть различные числа заполнения. Таким образом наличие ненулевой температуры приводит к спонтанному нарушению суперсимметрии. Это должно проявляться в наличии в длинноволновом спектре системы бесщелевой фермионной ветви. Мы будем именовать соответствующие фермиевские возбуждения фонино, так как они являются суперсимметричным аналогом обычных фононов.

Попытки продемонстрировать существование фонино (голдстино) в рамках модели Весса – Зумино были предприняты в работах<sup>2–4</sup>, авторы которых искали дополнительный бесщелевой полюс в фермионной функции Грина, обусловленный взаимодействием. Однако вопрос остался открытым. Так, авторы работ<sup>3, 4</sup> просто выбрасывали часть графиков для собственно энергетической функции того же порядка, что и удержанные. Мы покажем, что наличие фонинной ветви спектра является чисто симметрийным фактом.

Предположим, что в системе создана ненулевая плотность супертока  $\langle S_\mu \rangle$ . Тогда быстрые процессы релаксации приведут к установлению локального равновесия с функцией распределения

$$\exp((F - H + \bar{\xi}Q)/T). \quad (1)$$

Здесь  $F$  – свободная энергия,  $H$  – гамильтониан,  $Q$  – суперзаряд,  $\xi$  – антикоммутирующий майорановский спинор. По функции распределения (1) легко найти среднее

$$\langle S_\mu \rangle = \frac{1}{2T} \langle [\bar{\xi}Q, S_\mu]_+ \rangle = -\frac{i}{T} \langle \theta_{\mu\nu} \rangle \gamma_\nu \xi. \quad (2)$$

Здесь  $\theta_{\mu\nu}$  – тензор энергии импульса. Последнее равенство в (2) следует из того, что  $S_\mu$  и  $\theta_{\mu\nu}$  входят в один супермультиплет.

<sup>1)</sup> Институт теоретической и экспериментальной физики ГКИАЭ

Длинноволновую динамику  $\langle S_\mu \rangle$  теперь легко получить, воспользовавшись законом сохранения суперзаряда. Из условия  $\partial_\mu \langle S_\mu \rangle = 0$  в соответствии с (2) получается уравнение Дирака для спинора  $\xi$ , которое описывает волну, распространяющуюся со скоростью

$$c = P/E , \quad (3)$$

где  $P$  – давление, а  $E$  – плотность энергии. Таким образом спектр фонино имеет звуковой характер, а его скорость (3) выражается только через термодинамические характеристики среды.

Приведенный гидродинамический вывод спектра фонино имеет общий характер. Однако для установления границ области существования фонино, для вычисления его затухания и поправок к закону дисперсии  $\omega = ck$  необходимо привлекать модельные представления. Мы провели конкретные расчеты в рамках модели Весса – Зумино (которая использовалась и авторами <sup>1–4</sup>), считая малой константу взаимодействия  $g$ .

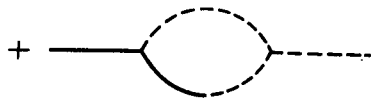
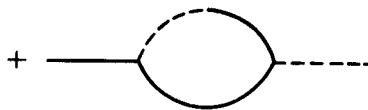
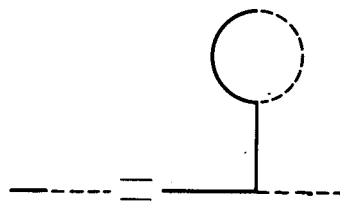
При вычислении термодинамических величин, определяющих в соответствии с (3) скорость фонино, можно ограничиться нулевым порядком по взаимодействию. В результате находим

$$c = \frac{1}{3} \int_0^\infty \frac{x^4 dx}{\sqrt{x^2 + 1}} (n_B + n_F) / \int_0^\infty x^2 \sqrt{x^2 + 1} dx (n_B + n_F) . \quad (4)$$

Здесь

$$n_{B, F} = \left( \exp \left( \frac{m}{T} \sqrt{x^2 + 1} \right) \mp 1 \right)^{-1} ,$$

$m$  – масса невзаимодействующих частиц. При  $T \ll m$   $c = T/m$ , при  $T \gg m$   $c = 1/3$ .



Учет взаимодействия приводит к тому, что одинаковые затравочно законами дисперсии, отвечающие распространению  $A$ -,  $B$ - и  $\psi$ -полей, становятся различными. Последний эффект можно оценить по величине разности "квадратов масс"

$$\Delta_A = \omega_\psi^2(k=0) - \omega_A^2(k=0) = \frac{14}{3} g^2 m^2 \left( \frac{2T}{\pi m} \right)^{3/2} \exp \left( - \frac{m}{T} \right) , \quad (5)$$

$$\Delta_B = \omega_\psi^2(k=0) - \omega_B^2(k=0) = - 2g^2 m^2 \left( \frac{2T}{\pi m} \right)^{3/2} \exp \left( - \frac{m}{T} \right) .$$

Последние равенства в (5) справедливы при  $T \ll m$  и в главном по  $g$  приближении. При  $T \gg m$   $\Delta_A \sim \Delta_B \sim g^2 T^2$ .

Фонино можно рассматривать, как связанное состояние фермиона и бозона. Поэтому для исследования его спектра необходимо решить соответствующее уравнение Бете – Салпите – ра<sup>5</sup>. В основном по константе связи приближений это уравнение изображено на рисунке. На нем сплошная линия обозначает фермионную функцию Грина, штриховая – бозонную, а смешанная – волновую функцию связанного фермион-бозонного состояния. Последнюю можно интерпретировать, как средние  $\langle \psi A \rangle$ ,  $\langle \psi B \rangle$ , возникающие при  $\langle S_\mu \rangle \neq 0$ .

Так как мы исследуем спектр фонино при ненулевой температуре, то при реальных вычислениях следует использовать диаграммную технику Келдыша<sup>6, 7</sup> (см. также<sup>8-10</sup>).

Область существования фонино определяется механизмом затухания Ландау<sup>7</sup>, который в данном случае означает поглощение фонино бозоном с превращением его в фермион либо наоборот. Этот механизм эффективно включается на волновых векторах порядка

$$k_* = \Delta/k_T, \quad (6)$$

где  $k_T$  – тепловой импульс, равный  $\sqrt{mT}$  при  $T \ll m$  и  $T \gg m$ . При  $k \gtrsim k_*$  механизм Ландау приводит к размытию спектра фонино, а при  $k \ll k_*$  обуславливает экспоненциально малый вклад в его затухание.

В пренебрежении этим затуханием уравнение, изображенное на рисунке, позволяет вычислить только действительную часть спектра фонино. Для определения затухания фонино необходимо включить в рассмотрение двухплетлевые графики. Исследование спектра фонино предложенным способом весьма близко к исследованию спектра коллективных мод методом кинетического уравнения<sup>7</sup>. Роль функции распределения частиц играют при этом средние  $\langle \psi A \rangle$ ,  $\langle \psi B \rangle$ , а роль интеграла столкновений – двухплетлевые члены.

Мы нашли решения уравнения Бете – Салпите в первых двух порядках по  $k/k_*$ . Подставляя получившиеся решения для  $\langle \psi A \rangle$ ,  $\langle \psi B \rangle$  в закон сохранения суперзаряда, мы вычислили главные члены в дисперсионном уравнении. Приведем результаты.

При  $T \ll m$  действительная часть спектра фонино задается уравнением

$$\omega^2 = \frac{T^2}{m^2} k^2 (1 + m^2 k^2 (\Delta_A^{-1} - \Delta_B^{-1})^2), \quad (7)$$

где  $\omega$  – частота, а  $k$  – волновой вектор фонино. Затухание фонино, определяемое столкновительными членами, имеет порядок

$$\text{Im } \omega \sim g^2 T k^2 / \Delta \quad (8)$$

и всегда мало по сравнению с частотой.

При  $T \gg m$   $\omega \approx k/3$ . Что касается затухания фонино, то оно существенно зависит от соотношения  $k$  и  $g^2 m_*$ , где  $m_* = m + gT$ . При  $k \ll g^2 m_*$  имеет место обычный гидродинамический режим, а  $\text{Im } \omega \sim k^2/m_*$ . При  $g^2 m_* \ll k \ll g^2 T$  локальное равновесие сильно нарушено, этот режим можно назвать нуль-звуковым<sup>7</sup>. Затухание фонино в этом режиме остается константой  $\text{Im } \omega \sim g^4 m_*$ .

Сформулированные выше общие особенности спектра фонино, по-видимому, остаются справедливыми для любой модели со слабым взаимодействием. Поэтому их можно перенести и на более интересные случаи, например, суперсимметричную кварк-глюонную плазму<sup>11, 12</sup>.

Более подробно результаты будут опубликованы нами в другом месте<sup>13</sup>.

#### Литература

1. Ciradello L., Crisaru M.T., Salomonson P. Nucl. Phys., 1981, **B178**, 331.
2. Teshina K. Phys. Lett., 1983, 226.
3. Boyanovsky D. Phys. Rev., 1984, **D29**, 743.
4. Gudmundsdottir R., Salomonson P. Nucl. Phys., 1987, **B285**, (FS19), 1; Phys. Lett., 1986, **182B**, 174.
5. Берестецкий В.Б., Лифшиц Е.М., Питаевский Л.П. Квантовая электродинамика. М.: Наука, 1980.
6. Келдыш Л.В. ЖЭТФ, 1964, **47**, 1515.
7. Лифшиц Е.М., Питаевский Л.П. Физическая кинетика. М.: Наука, 1979.

8. *Takahashi Y., Umezawa H.* Collective Phenomena, 1975, **2**, 55.
9. *Matsumoto H. et al.* Ann. Phys., 1984, **152**, 348.
10. *Semenoff C.W., Umezawa H.* Nucl. Phys., 1983, **B220**, (FS8), 196.
11. *Kalashnikov O.K.* Fortschritte d. Phys., 1984, **32**, 525.
12. *Weldon H.A.* Phys. Rev., 1982, **D26**, 1394.
13. *Lebedev V. V., Smilga A. V.* Nucl. Phys., in press.

Институт теоретической физики им. Л.Д.Ландау  
Академии наук СССР

---

Поступила в редакцию  
28 января 1988 г.